

НАУЧНО-ТЕХНИЧЕСКИЕ ПРОБЛЕМЫ ГОРЕНИЯ И ВЗРЫВА

№ 2

1965

УДК 536.46

КРАТКИЕ СООБЩЕНИЯ

Ш. А. Ершин, Л. П. Ярин

(Алма-Ата)

ДИФФУЗИОННОЕ ГОРЕНИЕ В ЛАМИНАРНОМ ПОГРАНИЧНОМ СЛОЕ

Исследованию горения неперемешанных газов в затопленной струе посвящен ряд работ, относящихся как к ламинарным, так и турбулентным течениям [1, 4]. Ниже приводятся некоторые результаты исследования аэродинамики диффузионного горения в пограничном слое двух плоскопараллельных ламинарных спутных потоков.

Пусть равномерный поток реагирующего газа со скоростью $u_{+\infty}$ смешивается с потоком окислителя (рис. 1), движущимся со скоростью $u_{-\infty}$. В пограничном слое начнет протекать высоконтенсивная химическая реакция, если постоянно действует поджигающая точка O . В силу резкой экспоненциальной зависимости скорости реакции от температуры зона реакции локализуется в сравнительно узкой области пограничного слоя. При скоростях реакции, существенно превышающих скорость диффузии, зону реакции — фронт пламени можно представить в виде математической поверхности OA , температура которой равна (если не учитывать потери на излучение) теоретической температуре горения, а концентрации реагирующих веществ равны нулю [4].

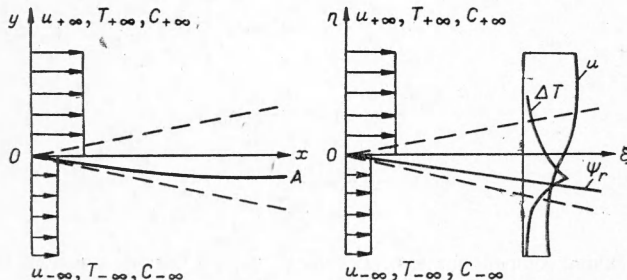


Рис. 1. Схема спутного плоскопараллельного течения при наличии в пограничном слое фронта пламени.

Наличие фронта пламени в зоне смешения потоков приводит к изменению плотности и вязкости в пограничном слое. Для изобарного течения температура и плотность связаны соотношением $\rho T = \text{const}$. Что касается зависимости вязкости от температуры, то последняя, в первом приближении, может быть представлена в виде: $\mu = A \cdot T^n$. В дальнейшем будем считать, что вязкость является линейной функцией температуры, а теплоемкость — постоянной.

Фронт пламени представляет собой поверхность слабого разрыва, поэтому решение тепловой и диффузионной задач проводится раздельно для области «горючего» и «окислителя». Полученные решения «стыкаются» на фронте пламени, положение которого определяется из условия смешения реагентов в стехиометрическом соотношении.

При сделанных выше допущениях рассматриваемое течение в переменных А. А. Дородницина описывается следующей системой дифференциальных уравнений:

$$u \frac{\partial \bar{u}}{\partial \xi} + \bar{v} \frac{\partial \bar{u}}{\partial \eta} = \frac{\partial^2 \bar{u}}{\partial \eta^2};$$

$$\begin{aligned} \bar{u} \frac{\partial \bar{\Delta T}}{\partial \bar{\xi}} + \tilde{v} \frac{\partial \bar{\Delta T}}{\partial \bar{\eta}} &= \frac{1}{\sigma} \frac{\partial^2 \bar{\Delta T}}{\partial \bar{\eta}^2}; \\ \bar{u} \frac{\partial \bar{\Delta C}}{\partial \bar{\xi}} + \tilde{v} \frac{\partial \bar{\Delta C}}{\partial \bar{\eta}} &= \frac{1}{\sigma_1} \frac{\partial^2 \bar{\Delta C}}{\partial \bar{\eta}^2}; \\ \frac{\partial \bar{u}}{\partial \bar{\xi}} + \frac{\partial \tilde{v}}{\partial \bar{\eta}} &= 0 \end{aligned} \quad (1)$$

с граничными условиями:

$$\begin{cases} \bar{\eta} \geq 0 \quad \bar{u} = \frac{2}{1+m}; \quad \tilde{v} = 0; \quad \bar{\Delta T}_{1,0} = \frac{T - T_{+\infty}}{T_{-\infty} - T_{+\infty}} = 0; \quad \bar{\Delta C}_{1,0} = \frac{C - C_{+\infty}}{C_{-\infty} - C_{+\infty}} = 0; \\ \bar{\eta} \leq 0 \quad \bar{u} = \frac{2m}{1+m}; \quad \tilde{v} = 0; \quad \bar{\Delta T}_{2,0} = \frac{T - T_{-\infty}}{T_{+\infty} - T_{-\infty}} = 0; \quad \bar{\Delta C}_{2,0} = \frac{C - C_{-\infty}}{C_{+\infty} - C_{-\infty}} = 0; \\ \bar{\xi} > 0 \quad \begin{cases} \bar{\eta} \rightarrow +\infty \quad \bar{u} \rightarrow \frac{2}{1+m}; \quad \bar{\Delta T}_1 = \frac{T - T_{+\infty}}{T_r - T_{+\infty}} \rightarrow 0; \quad \bar{\Delta C}_1 = \frac{C - C_r}{C_{+\infty} - C_r} \rightarrow 1; \\ \bar{\eta} = \bar{\eta}_r \quad \bar{\Delta T}_i = \frac{T - T_{\pm\infty}}{T_r - T_{\pm\infty}} = 1; \quad \bar{\Delta C}_i = 0 \quad (i = 1, 2); \\ \bar{\eta} \rightarrow -\infty \quad \bar{u} \rightarrow \frac{2m}{1+m}; \quad \bar{\Delta T}_2 = \frac{T - T_{-\infty}}{T_r - T_{-\infty}} \rightarrow 0; \quad \bar{\Delta C}_2 = \frac{C - C_r}{C_{-\infty} - C_r} \rightarrow 1. \end{cases} \end{cases}$$

Здесь:

$$\begin{aligned} \bar{u} &= \frac{2u}{u_{+\infty} - u_{-\infty}}; \quad \tilde{v} = \bar{u} \frac{\partial \bar{\eta}}{\partial x} + \rho \bar{v}; \quad \bar{v} = \frac{2v}{u_{+\infty} - u_{-\infty}} \sqrt{R} \frac{\sqrt{1+m}}{\sqrt{2}}. \\ R &= \frac{u_{+\infty} L}{u_{+\infty}}; \quad m = \frac{u_{-\infty}}{u_{+\infty}}; \quad \omega = \frac{\rho_{+\infty}}{\rho_r}; \\ \omega_1 &= \frac{\rho_{-\infty}}{\rho_r}; \end{aligned}$$

L — некоторый характерный размер; σ — число Прандтля; σ_1 — число Шмидта; индексы 1, 2 относятся соответственно к горючему и окислителю; индекс г указывает, что значение данной величины берется на фронте пламени; $+\infty$ и $-\infty$ — параметры реагирующего газа и окислителя вне пограничного слоя; черточка указывает, что данная величина безразмерна.

Решение системы уравнений (1) будем искать в виде:

$$\bar{u} = F'(\psi); \quad \bar{\Delta T}_i = \theta_i(\psi); \quad \bar{\Delta C}_i = \pi_i(\psi); \quad \psi = \bar{\eta}/\sqrt{\bar{\xi}}.$$

Тогда задача сводится к интегрированию системы дифференциальных уравнений:

$$\begin{aligned} F'''(\psi) + \frac{1}{2}F(\psi) \cdot F''(\psi) &= 0; \\ \theta''(\psi) + \frac{1}{2}\sigma F(\psi)\theta'(\psi) &= 0; \\ \pi''(\psi) + \frac{1}{2}\sigma_1 F(\psi)\pi'(\psi) &= 0 \end{aligned} \quad (2)$$

с граничными условиями:

$$\psi \rightarrow +\infty \quad F'(\psi) \rightarrow \frac{2}{1+m}; \quad \theta_1(\psi) \rightarrow 0; \quad \pi_1(\psi) \rightarrow 1;$$

$$\psi = \psi_r, \theta_i(\psi) = 1; \pi_i(\psi) = 0 \quad (i = 1, 2);$$

$$\psi \rightarrow -\infty \quad F'(\psi) \rightarrow \frac{2m}{1+m} \theta_2(\psi) \rightarrow 0; \quad \pi_2(\psi) \rightarrow 1.$$

Решение системы (2) (в приближении Гертлера) имеет вид:

$$\begin{aligned} F(\psi) &= C_1 \int_0^\psi \Phi(\psi) d\psi + C_2 \psi + C_3; \\ \theta(\psi) &= C'_1 \int_0^\psi [F''(\psi)]^{\sigma} d\psi + C'_2; \\ \pi(\psi) &= C''_1 \int_0^\psi [F''(\psi)]^{\sigma_1} d\psi + C''_2; \\ \left(\Phi(\psi) = \frac{2}{\sqrt{\pi}} \int_0^\psi e^{-t^2} dt \right). \end{aligned}$$

Выражения, описывающие изменение скорости, температуры и концентрации в плоскости переменных ξ, η , получим, учитывая граничные условия:

$$\frac{u}{u_{+\infty}} = \frac{1}{2} [(1+m) + (1-m) \Phi(\psi)] \text{ или } \frac{u - u_{-\infty}}{u_{+\infty} - u_{-\infty}} = \frac{1}{2} [1 + \Phi(\psi)]; \quad (3)$$

$$\frac{T - T_{+\infty}}{T_r - T_{+\infty}} = \frac{1 - \Phi(\psi \sqrt{\sigma})}{1 + \Phi(\psi_r \sqrt{\sigma})}; \quad \left(\frac{C - C_r}{C_{+\infty} - C_r} \right)_1 = 1 - \frac{1 - \Phi(\psi \sqrt{\sigma_1})}{1 + \Phi(\psi_r \sqrt{\sigma_1})}; \quad (4)$$

$$\frac{T - T_{-\infty}}{T_r - T_{-\infty}} = \frac{1 + \Phi(\psi \sqrt{\sigma})}{1 + \Phi(\psi_r \sqrt{\sigma})}; \quad \left(\frac{C - C_r}{C_{-\infty} - C_r} \right)_2 = 1 - \frac{1 + \Phi(\psi \sqrt{\sigma_1})}{1 + \Phi(\psi_r \sqrt{\sigma_1})}. \quad (5)$$

Уравнение (3) показывает изменение скорости во всем поле течения, уравнения (4) — изменение температуры и концентрации в области горючего газа, а уравнения (5) — в области окислителя.

Для анализа характера влияния отдельных параметров процесса на профили скорости, температуры и концентрации необходимо трансформировать решение в плоскость физических переменных.

Для изобарического течения связь между переменными ξ, η и x, y определяется соотношениями

$$\bar{\xi} = \bar{x}, \quad \bar{y} = \int_0^{\bar{\eta}} \frac{d\bar{\eta}}{\bar{\rho}} \text{ или } \psi = \int_0^{\bar{\psi}} \frac{d\bar{\psi}}{\bar{\rho}(\bar{\psi})} \left(\varphi = \frac{\bar{y}}{\sqrt{\bar{x}}} \right).$$

Так как фронт пламени является поверхностью слабого разрыва, по обе стороны которого профили плотности описываются различными выражениями, то в зависимости от величины ψ_r ($\psi_r \geq 0$) уравнение, связывающее координаты ψ и φ , будет определяться следующими соотношениями:

$$\psi_r < 0 \left\{ \begin{array}{l} \psi_r \leq \psi < +\infty \quad \varphi_1 = \int_0^\psi \frac{d\psi}{\rho_1(\psi)}; \\ -\infty < \psi \leq \psi_r \quad \varphi_2 = \varphi_r + \int_{\psi_r}^\psi \frac{d\psi}{\rho_2(\psi)} \quad \left(\varphi_r = \int_0^{\psi_r} \frac{d\psi}{\rho_1(\psi)} \right); \end{array} \right. \quad (6)$$

$$\varphi_r > 0 \begin{cases} \psi_r \leq \psi < +\infty & \varphi_1 = \varphi_r + \int_{\psi_r}^{\psi} \frac{d\psi}{\rho_1(\psi)} \quad \left(\varphi_r = \int_0^{\psi_r} \frac{d\psi}{\rho_2(\psi)} \right); \\ -\infty < \psi \leq \psi_r & \varphi_2 := \int_0^{\psi} \frac{d\psi}{\rho_2(\psi)}. \end{cases} \quad (7)$$

Здесь $\rho_1(\psi)$ и $\rho_2(\psi)$ профили плотности для области $\psi_r \leq \psi < +\infty$ и $-\infty < \psi \leq \psi_r$, определяемые соответственно выражениями (4), (5).

Используя (4), (5), нетрудно привести выражения (6), (7) к виду, удобному для непосредственного расчета:

$$\psi_r < 0 \begin{cases} \psi_r \leq \psi < +\infty & \varphi_1 = \psi + \frac{\omega - 1}{1 - \Phi(\psi_r V^{-\sigma})} \left\{ \psi - \left[\psi \Phi(\psi V^{-\sigma}) + \frac{1}{V^{\pi\sigma}} (e^{-\psi^2\sigma} - 1) \right] \right\} \\ -\infty < \psi \leq \psi_r & \varphi_2 = \varphi_r + (\psi - \psi_r) + \frac{\omega_1 - 1}{1 + \Phi(\psi_r V^{-\sigma})} \left\{ (\psi - \psi_r) + \right. \\ & \left. + \left[\psi \Phi(\psi V^{-\sigma}) - \psi_r \Phi(\psi_r V^{-\sigma}) + \frac{1}{V^{\pi\sigma}} (e^{-\psi^2\sigma} - e^{-\psi_r^2\sigma}) \right] \right\}, \end{cases} \quad (8)$$

где $\varphi_r = \varphi_r + \frac{\omega - 1}{1 - \Phi(\psi_r V^{-\sigma})} \left\{ \psi_r + \left[\psi_r \Phi(\psi_r V^{-\sigma}) + \frac{1}{V^{\pi\sigma}} (e^{-\psi_r^2\sigma} - 1) \right] \right\}$

$$\varphi_r > 0 \begin{cases} \psi_r \leq \psi < +\infty & \varphi_1 = \varphi_r + (\psi - \psi_r) + \frac{\omega - 1}{1 - \Phi(\psi_r V^{-\sigma})} \left\{ (\psi - \psi_r) - \right. \\ & \left. - \left[\psi \Phi(\psi V^{-\sigma}) - \psi_r \Phi(\psi_r V^{-\sigma}) + \frac{1}{V^{\pi\sigma}} (e^{-\psi^2\sigma} - e^{-\psi_r^2\sigma}) \right] \right\} \\ -\infty < \psi \leq \psi_r & \varphi_2 = \psi + \frac{\omega_1 - 1}{1 + \Phi(\psi_r V^{-\sigma})} \left\{ \psi + \right. \\ & \left. + \left[\psi \Phi(\psi V^{-\sigma}) + \frac{1}{V^{\pi\sigma}} (e^{-\psi^2\sigma} - 1) \right] \right\} \end{cases} \quad (9)$$

где $\varphi_r = \varphi_r + \frac{\omega_1 - 1}{1 + \Phi(\psi_r V^{-\sigma})} \left\{ \psi_r + \left[\psi_r \Phi(\psi_r V^{-\sigma}) + \frac{1}{V^{\pi\sigma}} (e^{-\psi_r^2\sigma} - 1) \right] \right\}$.

Система уравнений (3)–(5), (8)–(9) дает возможность проводить полный аэродинамический расчет факела, если известно местоположение фронта пламени (ψ_r). Связь между ψ_r и заданными параметрами ($C_{+\infty}$, $C_{-\infty}$, Ω , D_1 , D_2) для диффузионного горения определяется из условия смешения реагентов в стехиометрическом со-

отношении $-\frac{D_2 \left(\frac{dC}{du} \right)_2}{D_1 \left(\frac{dC}{dn} \right)_1} = \Omega$.

Используя выражения (4), (5), можно получить следующее соотношение, связывающее ψ_r с заданными параметрами;

$$\Phi(\psi_r V^{-\sigma}) = \frac{1 - \beta}{1 + \beta},$$

где

$$\beta = \Omega \frac{C_{+\infty}}{C_{-\infty}} \cdot \frac{D_1}{D_2}.$$

Таким образом, задача полностью решена.

Результаты расчета профилей скорости, температуры и импульса в ламинарном затопленном и спутном факеле представлены на рис. 2, 3.

Из рис. 2 видно, что увеличение степени перегрева (повышение калорийности газа) приводит к смещению фронта пламени к «внешней» границе пограничного слоя.

Особый интерес представляет аэродинамическая структура факела, развивающаяся в спутном потоке. Изменение параметра m (рис. 3) ведет к деформации полей скорости и температуры; фронт пламени с увеличением скорости спутного потока смещается к «внутренней» границе пограничного слоя. Своебразен характер изменения динамического напора в поперечных сечениях пограничного слоя. Наличие источника — фронта пламени в зоне смещения приводит к образованию «провала» на профилях ρu^2 .

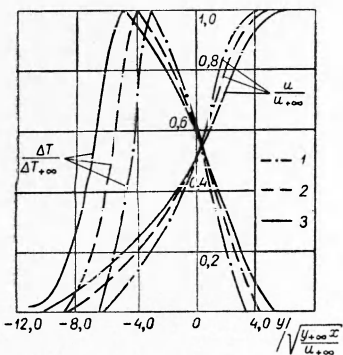


Рис. 2. Распределение температуры и скорости в затопленном ламинарном факеле ($\beta=4,0$; $\sigma=\sigma_1=1,0$).
1 — $\omega=6,0$; 2 — $\omega=8,0$; 3 — $\omega=10,0$ ($\omega=\omega_1$).

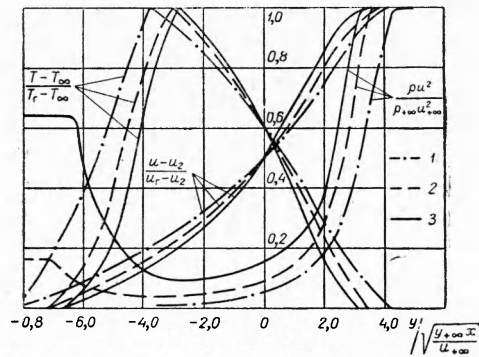


Рис. 3. Распределение температуры, скорости и плотности потока импульса в спутном ламинарном факеле ($\beta=4,0$; $\omega=\omega_1=8,0$; $\sigma=\sigma_1=1,0$).
1 — $m=0$; 2 — $m=0,4$; 3 — $m=0,8$.

Последнее связано с тем, что при изобарическом течении наличие источника приводит к резкому изменению поля плотности, в то время как поле скорости деформируется незначительно. Очевидно, что подобное явление должно наблюдаться и при горении в турбулентном потоке. Действительно, аналогичный характер изменения ρu^2 в пограничном слое был экспериментально обнаружен при изучении аэродинамики турбулентного диффузионного факела, развивающегося в спутном однородном потоке [5].

Авторы выражают благодарность проф. Л. А. Вулису за обсуждение работы и ценные замечания.

Поступила в редакцию
23/XI 1964

ЛИТЕРАТУРА

- Г. Н. Абрамович. Теория турбулентных струй. Физматиздат, 1960.
- Г. Хоттел, В. Гаусорн. Диффузия в пламени в ламинарном потоке, Сборник горения, т. I, ИЛ, 1953.
- Ш. А. Ериш, Л. П. Ярин. Изв. АН КазССР, сер. энергетическая, 1962, 21.
- Я. Б. Зельдович. ЖТФ, 1949, 19, 10.
- Ш. А. Ериш, Л. П. Ярин. Вест. АН КазССР, 1962, 4.

УДК 536.46

Б. А. Иванов, С. М. Когарко
(Москва)

ЭНЕРГИЯ ЗАЖИГАНИЯ ЧИСТОГО АЦЕТИЛЕНА И ЕГО СМЕСЕЙ С ВОЗДУХОМ ПРИ ПОВЫШЕННЫХ НАЧАЛЬНЫХ ДАВЛЕНИЯХ

В работах [1, 2] установлено, что при давлениях ниже 1,6 ата энергия зажигания чистого ацетилена измеряется десятками и сотнями джоулей, т. е. примерно в 1000 раз больше, чем у обычных двухкомпонентных взрывчатых газовых смесей при тех же